

NH₃에 의한 선택적 촉매환원반응에서 V₂O₅/TiO₂ 촉매의 격자산소 거동에 관한 연구

문승현* · 이호택 · 이현구†

*한국에너지기술연구소 폐기물연구팀
서울대학교 응용화학부 · 화학공정신기술연구소
(1998년 6월 16일 접수, 1998년 10월 12일 채택)

A Study on the Behavior of Lattice Oxygen in the Selective Catalytic Reduction of NO by NH₃ over V₂O₅/TiO₂ Catalyst

Seung-Hyun Moon*, Ho-Taek Lee and Hyun-Ku Rhee†

*Korea Institute of Energy Research, Waste Utilization Research Team,
P.O. Box 103, Yusong, Taejon, Korea
Division of Chemical Engineering and Institute of Chemical Processes,
Seoul National University, Seoul 151-742, Korea
(Received 16 June 1998; accepted 12 October 1998)

요 약

NH₃를 환원제로 사용하여 고정오염원에서 발생하는 NO_x를 제거하는 선택적 촉매환원공정은 가장 효과적인 탈질공정으로 인정되고 있다. 본 연구에서는 이 공정에 사용되는 V₂O₅/TiO₂ 촉매상에서 격자산소의 탈리와 재생에 대한 연구를 수행하였다. 반응물로 산소를 공급하지 않고 NH₃/N₂만 공급할 때 담지율이 3 wt% 이상인 V₂O₅/TiO₂ 촉매상에서 NH₃와 격자산소의 반응으로 NO가 생성되나 그 이하의 담지율에서는 NO 생성이 미미한 것으로 관찰되었으며 이로부터 특정 담지율 이상에서 격자산소가 탈리됨을 확인하였다. 격자산소가 탈리된 촉매는 기상의 산소에 의하여 재생되는데 TiO₂에 담지된 V₂O₅의 격자산소는 온도에 관계없이 쉽게 재생되었으나 담지되지 않은 V₂O₅의 격자산소는 온도가 증가할수록 재생정도가 커졌다. 한편 TGA실험에서 NH₃처리된 V₂O₅/TiO₂ 촉매에 공기를 훌릴 때 격자산소가 재생되면서 특정담지율 이상에서 촉매의 무게가 증가하고 수분의 배출농도가 증가하는 것을 관찰하여 Bosch 등[1]이 제시한 격자산소의 탈리와 재생경로가 타당함을 입증하였다.

Abstract— Selective catalytic reduction(SCR) of nitric oxides using NH₃ has been recognized as one of the most effective denitrification processes to reduce NO_x from stationary sources. In this study, detachment and replenishment of lattice oxygen of V₂O₅/TiO₂ catalyst was investigated. In the flow of NH₃/N₂ without gaseous oxygen, NH₃ reacted with the lattice oxygen to produce NO over V₂O₅/TiO₂ catalyst containing more than 3 wt% V₂O₅, whereas V₂O₅/TiO₂ catalyst containing less than 3 wt% V₂O₅ showed insignificant NO production. This indicates that lattice oxygen detaches from V₂O₅/TiO₂ catalysts having more than a certain amount of V₂O₅. Lattice oxygen-detached catalysts were regenerated by gaseous oxygen. Lattice oxygen of V₂O₅ impregnated on TiO₂ was easily regenerated regardless of the temperature, but in the bulk V₂O₅, increasing the regeneration temperature leads to an increase in the degree of regeneration. From the results of TGA analysis conducted in a flow of oxygen, NH₃ pre-treated V₂O₅/TiO₂ catalyst containing more than a certain amount of V₂O₅ showed an increase of the catalyst weight as well as an increase in the H₂O concentration. This observation may be considered to support the reaction paths for detachment and replenishment of lattice oxygen proposed by Bosch et al.[1].

Key words : NO_x, Lattice Oxygen, SCR, V₂O₅/TiO₂, TGA

1. 서 론

고정오염원에서 발생하는 NO_x의 제거를 위하여 개발된 다양한 방법의 배가스 탈질공정은 용액의 사용여부에 따라 크게 습식법과 전

†E-mail : hkrhee@plaza.snu.ac.kr

식법으로 구분되는데 습식법은 NO_x의 처리후 수질오염의 문제가 다시 발생하게 되므로 현재 사용되고 있는 배가스 탈질법의 대부분이 전식법이며, 특히 효율과 선택성, 경제성 및 공정의 안정성이 가장 우수한 선택적 촉매환원법이 주류를 이루고 있다[2]. 선택적 촉매환원법은 미국의 U.S. Petroleum사에서 정유공장의 배가스를 처리하기 위하여 개발한 공정이나 1970년대 초부터 일본을 중심으로 촉매

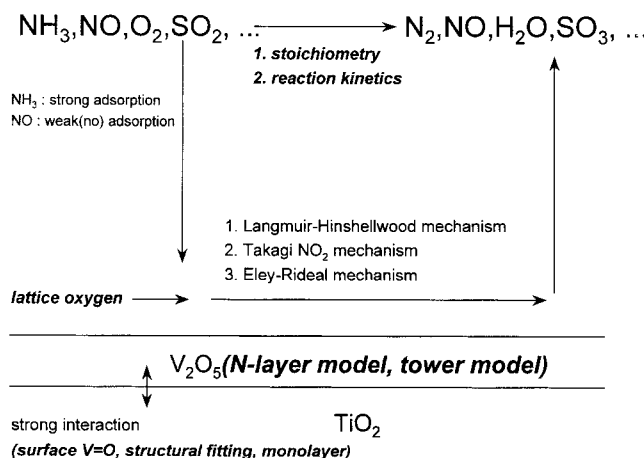


Fig. 1. Controversial features in the selective catalytic reduction over V_2O_5/TiO_2 catalyst.

개발이 활발하게 진행되어 1992년 말 일본에서는 이미 약 900기(처리능력은 2억 5천만 Nm^3/h)의 상용공정을 운영하고 있었다.

선택적 촉매환원공정의 핵심기술은 촉매인데, 상용으로 사용되고 있는 촉매는 V_2O_5/TiO_2 를 기본으로 하고 텅스텐과 소량의 silicoaluminate(기계적 강도향상을 위해 첨가)와 소량의 첨가제(주로 NH_3 의 산화방지 목적) 등으로 구성되어 있다[3].

V_2O_5/TiO_2 를 기본으로 하는 촉매가 상용촉매로 선정되기까지는 수많은 연구가 이루어졌는데, 이와 같이 반응활성이 우수하고 SO_2 에 대하여 내피독성이 뛰어난 촉매를 선정하기 위한 초기의 연구를 거쳐 상용촉매로 V_2O_5/TiO_2 가 선정된 이후에도 산소에 의한 반응속도 증가현상, 고온에서 NH_3 산화반응, 반응기구, 반응활성점, 활성물질과 담체의 상호작용, 반응물의 흡/탈착현상, 격자산소의 반응참여 여부, 활성물질의 담지형태 등 다양한 현상에 대한 연구가 지속적으로 진행되어 오고 있으나 명확하게 규명된 현상은 아직 일부에 불과하다[4].

Fig. 1은 V_2O_5/TiO_2 촉매상에서 진행되는 선택적 촉매환원반응에 대하여 명확하게 규명되지 않은 사항을 정리한 것으로서 이와 같이 많은 사항이 명확히 규명되지 못하였으며 이는 격자산소의 반응참여 여부 및 탈리/재생에 대한 직접적인 증거가 제시되지 못한데 기인한다고 할 수 있다[5].

산소가 반응물로 첨가될 때 저온에서는 산소농도가 0.7-1.0 %까지 NO 전환율이 현저히 증가하는 한편 400 °C 이상의 고온에서 NH_3 산화반응이 진행되어 NO 전환율이 오히려 감소하는데, 이러한 온도에 따른 NO 전환율의 변화추이는 선택적 촉매환원반응의 대표적인 모양이다[6, 7]. 이와 같이 반응활성에 중요한 영향을 미치는 산소에 대한 대표적인 연구로는 산소 pulse반응실험과 ($NO+NH_3$) pulse반응실험을 들 수 있다. 산소 pulse반응실험은 ($NO+NH_3$)를 연속적으로 흘리면서 산소를 사각 pulse로 공급/중단하는 실험으로서 산소를 공급할 때 NO 전환율이 빠른 시간내에 급격히 증가하는 반면, 산소공급을 중단하면 NO 전환율이 오랜 시간에 걸쳐 완만히 감소하는 현상으로부터 기상의 산소가 공급되지 않아도 격자산소가 반응에 참여한다는 사실을 입증한 것이다[8]. 한편 ($NO+NH_3$) pulse반응실험은 Hattori 등 [9, 10]이 선택적 촉매환원반응의 활성점을 $V=O$ 기인 것으로 판단하고 NO 와 NH_3 혼합물을 pulse로 공급할 때 생성되는 질소가 초기에 강한 피크를 보인 후 진 꼬리를 나타내는 현상으로부터 초기에 나타나는 피크는 표면의 격자산소이고 진 꼬리 형태로 나타나는 농도곡선은 하부의 격자산소가 확산에 의해 공급되는 것으로 판단하였다.

이로부터 표면에 존재하는 격자산소의 숫자와 하부 격자산소의 확산속도 등을 구하였으며 이 결과 표면 격자산소의 숫자와 활성은 비례관계에 있다고 주장하였다. 그러나 Rajadhyaksha 등[11]은 반응활성점을 $V-OH$ 기라고 주장하였으며 또한 Gasior 등[12]은 표면의 $V=O$ 기가 반응에 참여하지 않는다고 주장하고 있어 격자산소에 대한 논란은 아직도 계속되고 있는 상태이다. 이외에도 반응물로 투입되는 NO, NH_3 및 O_2 의 동위원소를 이용하는 방법[13, 4], 그리고 IR을 비롯한 다양한 분석기법을 이용하는 방법[14, 15]이 시도되었으나 아직까지 격자산소의 탈리 및 재생에 대하여는 직접적인 증거가 제시되지 못하고 있다.

따라서 본 연구에서는 격자산소의 거동에 대해 다음의 사항들을 고찰하였다.

- (1) 선택적 촉매환원반응에서 격자산소가 탈리를 하는가?
- (2) 격자산소의 재생이 가능한가?
- (3) 재생이 가능하면 온도에 따라 재생의 정도가 어떻게 변화하나?
- (4) 격자산소가 탈리/재생될 때 어떤 경로를 따르게 되나?

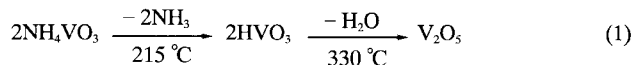
2. 실험

2-1. 촉매의 제조

본 연구에서는 V_2O_5/TiO_2 촉매에 대한 연구에서 널리 사용되고 있는 상용제품의 TiO_2 (Degussa사, P25)를 V_2O_5 담지촉매의 제조와 같은 조건으로 건조, 소성하여 사용하였다. V_2O_5/TiO_2 촉매는 담지율을 달리하여(0.5-15.0 wt%) 여러 종류를 제조하였다. 또한 담지하지 않은 V_2O_5 촉매(bulk V_2O_5)는 열분해법으로 제조하였다.

2-1-1. Bulk V_2O_5 촉매의 제조

NH_4VO_3 는 아래 식 (1)에서와 같이 215 °C에서 NH_3 를, 그리고 330 °C에서 H_2O 를 각각 잃으면서 V_2O_5 를 생성한 후 675 °C에서 녹는다. 따라서 본 연구에서는 ammonium metavanadate를 산소존재하, 500 °C에서 3시간 동안 열분해하여 bulk V_2O_5 촉매를 제조하였으며 열중량분석법을 통하여 NH_3 와 H_2O 가 방출됨을 확인하였다.



2-1-2. V_2O_5/TiO_2 촉매제조

V_2O_5/TiO_2 촉매를 제조하는 방법에 대해 많은 연구가 진행되었다. $VOCl_3$ 무수용액으로부터 얻는 방법과 ammonium vanadate(NH_4VO_3)를 NH_4OH 수용액이나 염산에 녹이는 방법, 그리고 중류수와 oxalic acid에 녹이는 방법이 있는데, 본 연구에서는 oxalic acid에 녹이는 방법을 채택하였다. 제조방법으로는 먼저 ammonium vanadate를 2차 중류수에 녹인다. 이때 ammonium vanadate의 용해도가 매우 작기 때문에 그 용해도를 증가시키기 위해 ammonium vanadate 수용액에 oxalic acid를 조금씩 저어가며 혼합하여 pH값이 2.5로 될 때까지 계속한다. 이때 용액은 밝은 오렌지 색을 띤다. 이 용액을 저으면서 TiO_2 담체를 필요한 양만큼 조금씩 넣어 섞는다. 혼합이 완료된 용액은 24시간 동안 교반하여 충분한 용액 주입을 한뒤 60-70 °C에서 서서히 수분을 증발시킨다. 증발이 완료되면 시료의 추가 건조를 위하여 110 °C의 건조로에서 장시간 건조한 후 550 °C의 전기로에서 3시간 동안 소성하여 최종 V_2O_5/TiO_2 촉매를 얻었다.

2-2. 실험장치 및 방법

2-2-1. 반응실험

본 실험에 사용된 장치의 개략도를 Fig. 2에 도시하였다. 반응기는 연속흐름형 고정층 반응장치로서 직경 15 mm의 스테인레스판으로

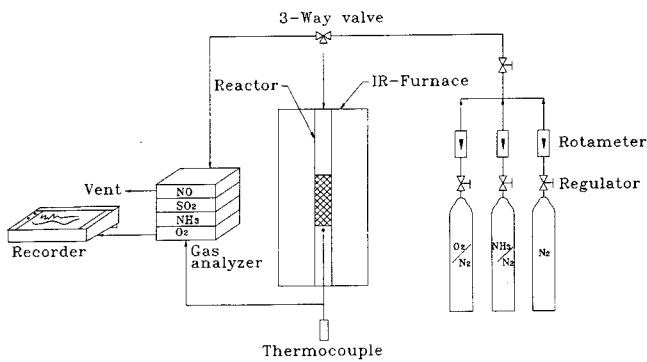


Fig. 2. Schematic diagram of the experimental apparatus for the lattice oxygen detachment and replenishment experiment.

제작하였으며 촉매층을 고정하기 위해 스테인레스 망을 반응기내에 설치하였다. 반응기내의 온도는 1mm의 CA열전대로 측정하였으며 PID온도제어기로 제어하였다. 반응기를 가열하기 위해서 적외선 가열로를 이용하였다. 반응장치의 각 부분은 1/4인치의 스테인레스관과 테프론관으로 연결하였고 반응기 전후의 농도를 측정하기 위하여 삼방밸브로 유로를 변경하였다. 반응물과 생성물의 농도를 측정하기 위하여 비분산 적외선 가스분석기(ADC사, NH₃/NO/SO₂/O₂)를 사용하였고 4-pen recorder를 이용하여 연속적으로 기록하였다. 반응ガ스는 2,000 ppm NH₃/N₂와 5% O₂/N₂의 표준가스를 사용하였고 반응기로 유입되는 각 성분가스의 조성과 총 유량은 N₂로 조절하였다. 각 성분의 가스 유량은 rotameter로 측정하였다.

실험은 다음과 같은 순서로 수행되었다.

- (1) 반응기에 촉매 4g을 충전한다.
- (2) 촉매의 불순물을 제거하고 완전히 산화된 상태로 유지시키기 위해 공기분위기에서 10 °C/min으로 500 °C까지 승온하고 500 °C에서 10분 유지한 후 N₂분위기에서 상온으로 냉각시킨다.
- (3) 2,000 ppm NH₃/N₂를 흘리고 10 °C/min으로 500까지 승온하면서 생성가스의 농도를 연속적으로 분석한다.
- (4) 생성되는 NO의 피크가 무시될 정도로 작아질 때까지 (3)을 반복한다.
- (5) NO의 피크가 무시될 정도로 작아지면 격자산소 재생실험을 시작한다.
- (6) 각 온도에서 공기를 20분 동안 흘린 후 N₂분위기에서 상온으로 냉각한다.
- (7) 재생정도를 관찰하기 위해 (3)을 반복한다.
- (8) 다른 온도에서의 재생실험을 위해 (4)를 반복한다.

이상과 같은 실험장치와 방법으로 NO 및 NH₃와 O₂ 또는 SO₂를 각각 반응ガ스로 유입시키는 조건에서 담지율을 달리한 V₂O₅/TiO₂ 촉매의 반응성을 측정하였고, 또한 각 촉매의 격자산소 탈리와 재생반응 실험을 수행하였다.

2-2-2. 열중량분석실험

NH₃와 산소에 의한 담체 및 촉매의 격자산소 거동에 따른 현상을 조사하기 위해 Fig. 3과 같이 TGA(Cahn Co.)와 Quadruple Mass Spectrometer를 연결하였다. 촉매 0.1g을 백금망의 바스켓에 담고 이를 load cell에 연결하였다. 반응물로는 2,000 ppm NH₃/N₂와 고순도(99.99%) 질소 및 공기를 사용하였고 수분의 유입을 방지하기 위해 수분제거장치를 설치하였으며 실험순서는 다음과 같다.

- (1) 촉매의 불순물을 제거하고 완전히 산화된 상태로 유지시키기

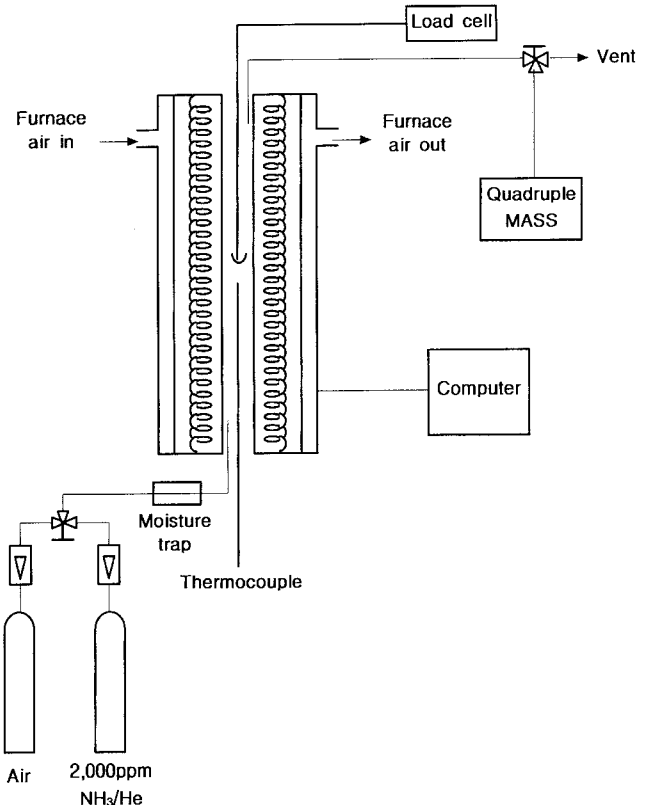


Fig. 3. Schematic diagram of the experimental apparatus for the TGA and MASS analysis.

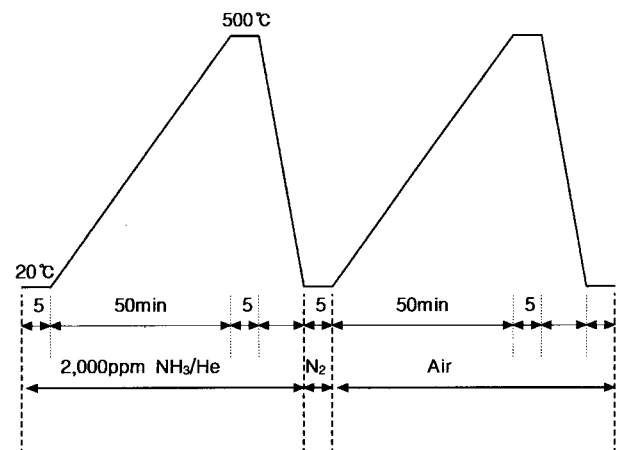


Fig. 4. Temperature profile and gas conditions in the TGA and MASS experiment.

위해 공기분위기에서 10 °C/min으로 500 °C까지 승온하고 500 °C에서 10분 유지한 후 상온으로 냉각시킨다.

- (2) TGA장치에 시료를 올리고 2,000 ppm NH₃/He를 흘리면서 무게가 안정될 때까지 유지한다.
- (3) NH₃/He분위기에서 Fig. 4와 같은 온도분포로 가열하면서 무게 변화와 배출되는 가스의 조성을 측정한다.
- (4) 500 °C에서 5분 유지한 후 N₂분위기에서 상온으로 공냉시킨다.
- (5) 공기분위기에서 (3), (4)를 반복한다.

이상과 같은 실험의 온도 및 가스분위기를 Fig. 4에 나타내었다.

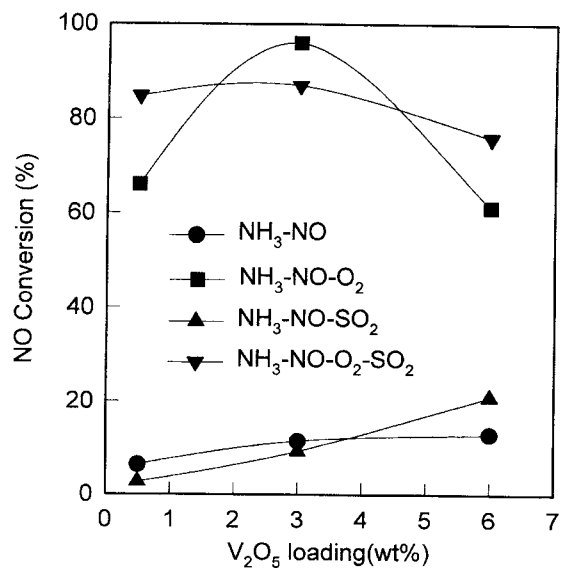


Fig. 5. Effect of vanadium loading on the NO conversion in the various reaction system(NO=300 ppm, NH₃=300 ppm, O₂=1.5 %, SO₂=300 ppm, N₂=balance, S.V.=60,000 hr⁻¹, Temp.=300 °C).

3. 결과 및 검토

TiO₂ 담체에 활성성분인 V₂O₅의 담지율을 달리하여 촉매를 제조하고, 이 촉매상에서 여러 가지 반응계에 대한 NO의 환원활성을 비교하여 Fig. 5에 나타내었다. 산소가 유입되는 반응계에서는 담지율이 증가함에 따라 NO전환율이 증가하다가 감소하는 경향을 보이는 데 비하여 산소가 유입되지 않는 반응계에서는 NO전환율이 지속적으로 증가하는 경향을 보인다. 즉, 산소의 반응참여 여부에 따라 담지율의 변화에 대한 NO전환율의 변화양상이 달라지므로 산소와 활성성분의 담지율과는 관련이 있다고 판단된다. 본 연구에서는 산소가 존재하는 조건에서 최고의 NO전환율을 보이는 3 wt% V₂O₅/TiO₂를 기준으로 하여 담지율이 이보다 적은 경우와 많은 경우 그리고, 무담지 V₂O₅ 촉매들에 대하여 격자산소의 거동 특성을 조사하였다.

3-1. 격자산소의 탈리와 재생

V₂O₅/TiO₂ 촉매의 격자산소를 제거하는 방법으로 수소를 사용한 TPR이 많이 이용되어 촉매의 환원능에 대한 자료가 많이 발표되어 있다[16]. Haber 등[17]은 H₂, CO, 프로판, 프로필렌을 사용하여 V₂O₅/TiO₂ 촉매상에서 격자산소 탈리/산화실험(400 °C)을 수행한 결과 프로필렌을 제외한 기체에서 환원은 서서히 진행되었으나 재산화는 빠르고 완전하게 진행된다고 보고하였다. 그러나 이를 실험에서는 반응물이 아닌 수소 등의 기체를 사용하였기 때문에 SCR 반응에서 일어나는 현상을 직접 파악하기는 어렵다. 따라서 본 연구에서는 반응물인 NH₃로 격자산소를 제거하는 실험을 수행하여 기존의 연구에서 보다는 좀 더 직접적인 증거를 얻고자 하였다.

Fig. 6은 담지되지 않은 V₂O₅ 촉매상에 2,000 ppm의 NH₃/N₂를 흘리면서 온도에 따른 생성가스의 조성을 분석한 것으로서 150 °C 근처에서 NH₃의 농도가 감소되면서 NO가 생성되어 250 °C 부근에서 최대의 농도를 보였다가 완만하게 감소하고 있다. 동일한 실험을 다시 반복할 경우 NH₃ 농도감소가 작아지고 NO 생성농도 또한 현저히 줄어들어 생성된 NO는 불순물로 포함될 수 있는 기상의 산소와 NH₃의 산화반응에 의한 것이 아니라 격자산소가 NH₃와 반응함으로써 생긴 것임을 알 수 있다. 이와 같은 실험을 NO생성이 없을 때까지

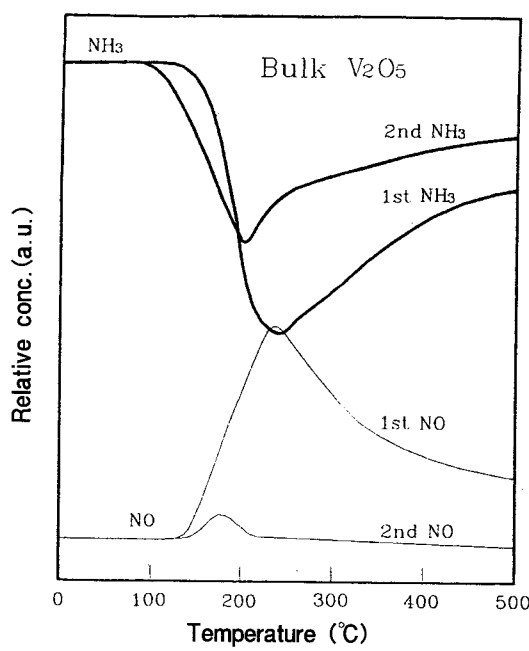


Fig. 6. Temperature programmed surface reaction between NH₃ and lattice oxygen over the bulk V₂O₅.

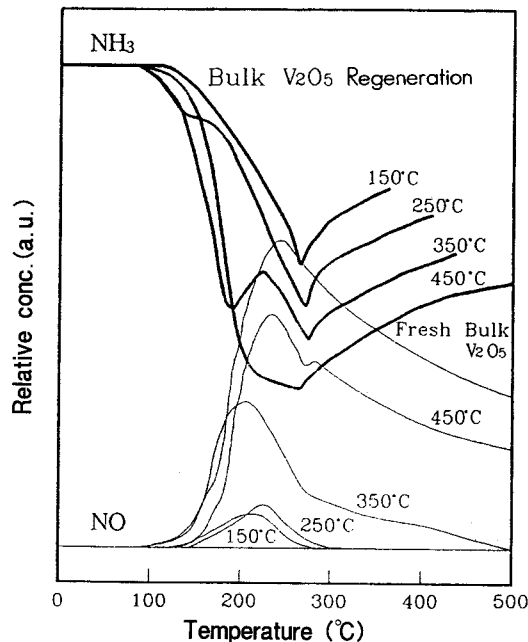


Fig. 7. Regeneration of lattice oxygen over the bulk V₂O₅ catalyst.

반복하여 격자산소의 탈리가 완전히 이루어졌다고 판단될 때 여러 온도에서 5 % O₂/N₂로 재생을 하고 다시 NH₃에 의한 격자산소의 탈리정도를 측정하여 이를 격자산소의 재생으로 평가하였다.

Fig. 7에는 담지되지 않은 V₂O₅ 촉매에 대하여 전술한 격자산소 탈리실험후 재생온도를 달리하면서 NH₃에 의한 격자산소의 탈리정도를 측정한 결과를 나타내었다. 그림에서 보듯이 격자산소의 재생은 온도상승에 따라 그 정도가 증가하고 있다. 선택적 촉매환원반응에서 온도가 상승함에 따라 NO환원반응속도와 NH₃산화반응속도가 모두 증가하며 특히 고온에서 NH₃산화반응이 급격히 증가하는 현상은 이와 같이 NH₃에 의하여 격자산소가 활성화되는데에 기인하는

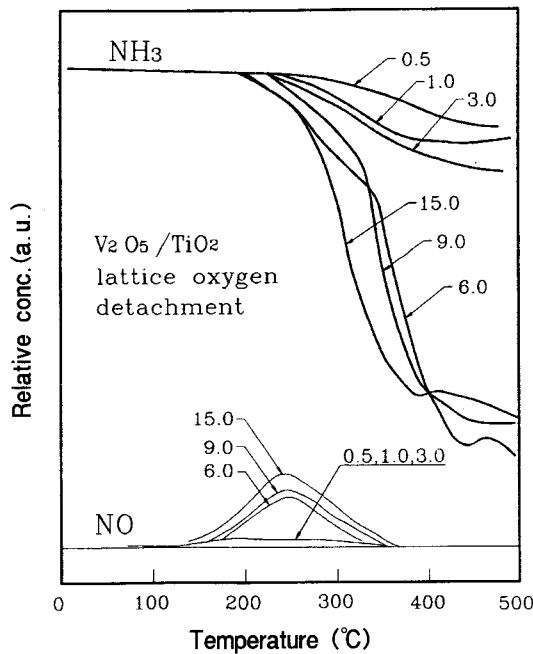


Fig. 8. Temperature programmed surface reaction between NH₃ and lattice oxygen over the V₂O₅/TiO₂ catalyst.

것으로 판단된다.

Fig. 8은 여러 가지 담지율의 V₂O₅/TiO₂에 대하여 NH₃에 의한 격자산소의 탈리정도를 측정한 결과를 나타낸 것으로서 담지율이 3 wt% 까지는 격자산소의 탈리가 크게 일어나지 않았으나 6 wt%부터는 담지하지 않은 V₂O₅에서와 마찬가지로 250 °C근처에서 최대의 NO생성을 나타내었으며 담지율이 클수록 NO생성도 많이짐을 볼 수 있다. 이는 일정한 담지율(일반적으로 monolayer 담지율 정도)이상으로 담지되는 활성성분의 격자산소는 그 이하로 담지된 활성성분의 격자산소와는 달리 쉽게 탈리되는 것을 의미한다. 따라서 최적의 담지율이 존재하게 되는데 V₂O₅/TiO₂ 담지율 증가에 따른 NO전환율은 저온(<200 °C)에서는 S자 곡선형태를 보이나 고온(>250 °C)에서는 증가하다가 감소하여 최대값을 갖는다. Vauerle 등[18]과 Pearson 등[19]은 V₂O₅/Al₂O₃ 측매는 15 wt%, V₂O₅/TiO₂ 측매는 10 wt%, 그리고 Shikada 등[20]은 V₂O₅/TiO₂-SiO₂ 측매에서 최적의 담지율은 12-15 wt% 이고, 이와 같이 최대값을 가지는 원인은 과잉으로 담지되는 활성성분이 담체의 미세기공을 막기 때문이라고 주장하였다. 그러나 담지율증가에 따른 비표면적의 차이가 작은 점과 본 연구의 결과에서 보듯이 일정한 담지율 이상에서 NH₃가 격자산소와 반응하여 NO가 생성될 뿐만 아니라 이로 인하여 NO환원반응의 활성점이 줄어들기 때문인 것으로 판단된다.

이상의 결과는 Efsthathiou와 Fliatoura[21]가 9 wt% V₂O₅/TiO₂상에서 산소동위원소를 사용한 실험에서 격자산소와 기상의 산소교환은 소량에 그친다고 한 결과와 차이를 나타내는데 이들의 실험은 격자산소 탈리가 없는 상태에서 수행된 것으로서 본 연구결과와 비교할 때 격자산소와 기상의 산소교환은 격자산소를 탈리하는 기체가 존재할 때 활발히 이루어지는 것으로 판단된다. 이는 본 연구에서 사용한 측매 중에서 격자산소의 탈리가 거의 없었던 담지율이 3 wt% 까지의 V₂O₅/TiO₂ 측매상에서 재생실험후 NH₃에 의한 격자산소 탈리실험을 반복하여도 NO생성이 없는 것으로부터 확인되었다.

Fig. 9는 6 wt% V₂O₅/TiO₂ 측매의 격자산소를 NH₃로 탈리실험한 후에 여러 온도에서 재생을 한 다음 다시 NH₃에 의한 격자산소 탈리실험을 한 결과로서 담지하지 않은 V₂O₅ 측매와는 달리 재생온도에 관

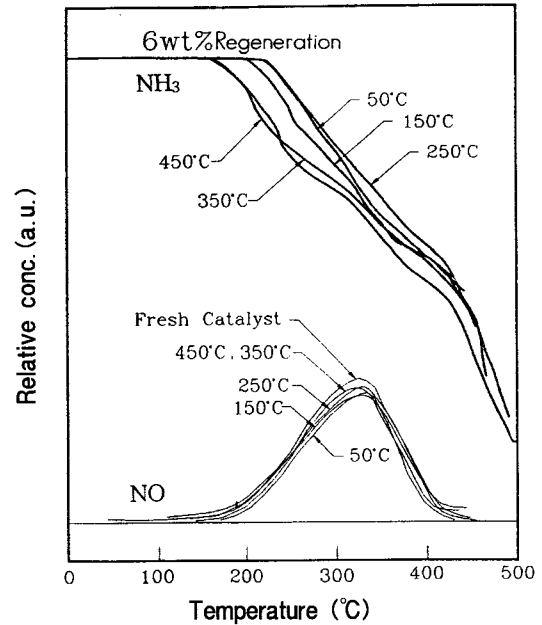


Fig. 9. Regeneration of lattice oxygen over the 6 wt% V₂O₅/TiO₂ catalyst.

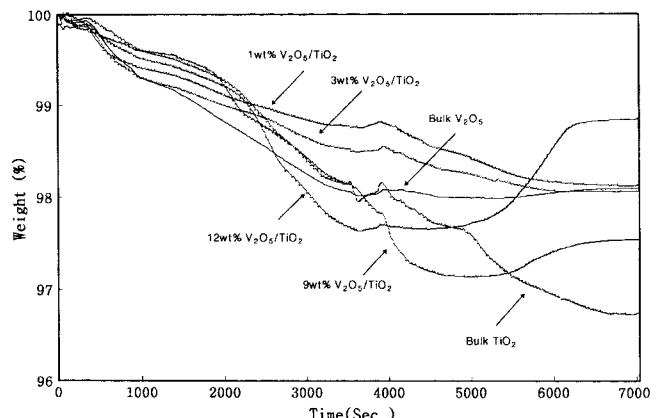


Fig. 10. Thermogravimetric analysis of various catalysts in the NH₃ and air flow.

계없이 원래의 상태로 쉽게 재생됨을 보여준다. 즉, 담지되지 않은 V₂O₅ 측매의 경우 재생후 생성되는 NO농도가 격자산소 탈리전에 생성되는 NO농도보다 낮아 격자산소의 탈리/재생이 비가역적으로 진행되는 반면에 V₂O₅/TiO₂ 측매에서는 거의 모든 격자산소가 가역적으로 탈리/재생됨을 알 수 있다.

Ozkan 등[4]은 담지된 측매에서는 비담지측매에서보다 격자산소의 유동성이 뛰어나다고 보고하였는데 본 연구 결과에서는 일정담지율 이상의 담지측매에 한하여 이와 같은 현상이 관찰되었고 그 이하의 담지율에서는 오히려 비담지측매의 산소활성이 뛰어났다. Ozkan 등[13]은 또한 동위원소 실험으로 산소의 결함은 보충되며 이러한 산소결함은 기상의 산소에 의하여 주로 보충되고 측매의 격자산소로부터 보충되는 것은 훨씬 적다고 하였다. 본 연구결과도 마찬가지로 기상의 산소에 의하여 산소결함이 보충됨을 보였으며 일정담지율 이상의 담지측매에서는 재생온도에 크게 영향을 받지 않는 것으로 나타났다.

3-2. 열중량분석 실험

Fig. 10은 담체와 활성성분, 그리고 여러 가지 담지율의 V₂O₅/TiO₂

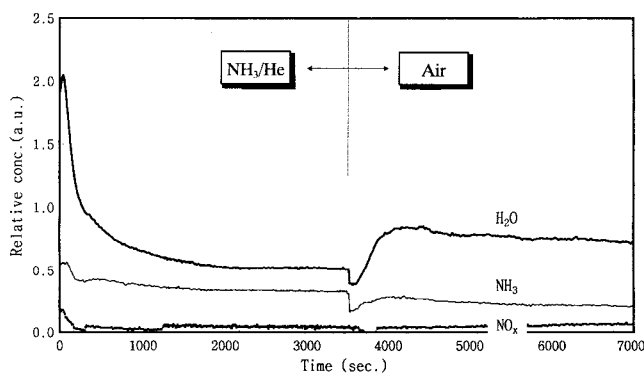


Fig. 11. Flue gases from the thermogravimetric analysis experiment over 1 wt% V_2O_5/TiO_2 catalyst.

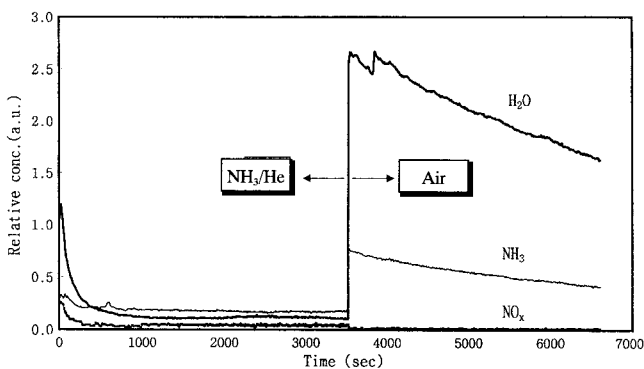
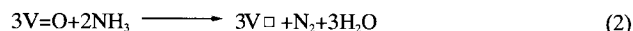


Fig. 12. Flue gases from the thermogravimetric analysis experiment over 12 wt% V_2O_5/TiO_2 catalyst.

에 대한 TGA실험결과로서 3,600초 까지는 NH₃분위기이고 이후부터는 공기분위기이다. 그림에서 볼 때 NH₃분위기에서는 담지율에 관계없이 무게감량이 일어나고 있으며 담지율이 증가할수록 무게감량도 커진다. 수분 등을 비롯한 불순물의 탈착에 의한 초기의 무게감소 이후에도 계속하여 무게가 감소하는 것은 NH₃에 의한 격자산소의 탈리에 따른 것으로서 3 wt%까지는 무게감소가 많지 않으나 9 wt% 이상에서는 추가로 큰 폭의 무게감소가 관찰된다. 이는 격자산소 탈리실험에서도 관찰된 바와 같이 일정 담지율 이상에서 격자산소의 탈리가 크게 일어나는 현상과 잘 부합한다. 한편 공기분위기에서는 3 wt% V_2O_5/TiO_2 까지 약간의 무게감량이 있는 반면에 9 wt% V_2O_5/TiO_2 부터는 무게의 증가가 보이며 bulk상태의 V_2O_5 나 TiO_2 의 경우는 공기분위기에서도 무게증가가 없다. 산소분위기에서 추가로 무게감량이 있는 것은 탈착되지 못한 NH₃가 추가로 탈착되기 때문에 생기는 것이며 무게증가가 있는 것은 탈착되지 못한 NH₃의 추가 탈착이외에도 NH₃탈착시 생긴 격자산소결함을 기상의 산소가 재생시키기 때문에 생기는 것이다. 이는 V_2O_5 가 TiO_2 에 담지되어 강한 상호작용이 생기고 본 연구에서 사용된 TiO_2 (Degussa사 제품)에 V_2O_5 를 monolayer로 담지할 수 있는 양이 3 wt% 정도인 점에 비추어 볼 때 monolayer이하로 담지된 V_2O_5 는 담체와 강하게 결합되어 있는 반면 그 이상으로 담지된 V_2O_5 는 담체인 TiO_2 와의 결합력이 약해져서 격자산소의 출입이 자유로운 것에 기인한다고 평가된다. Fig. 11과 12는 각각 1 wt%와 12 wt%의 V_2O_5/TiO_2 촉매에서 TGA실험시 배출되는 가스의 조성을 질량분석기로 측정한 것으로서 12 wt% V_2O_5/TiO_2 의 경우 1 wt% V_2O_5/TiO_2 에 비해 공기분위기에서 H₂O가 월등히 많이 배출되었다. 배출가스 중의 H₂O에 포함된 산소가 기상의 산소로부터 직접 공급된 것이라면 NH₃탈착에 따른 무게감량만 있어야 하

지만 무게증가가 있는 이유는 NH₃분위기에서 V=O가 격자산소의 탈리로 V \square 상태로 존재하기도 하고 NH₃를 흡착한 상태로 존재하기도 하는데 공기분위기에서는 Bosch 등[1]이 제안한 아래의 반응에 의해 V \square 가 V=O상태로 재산화되어 주변에 흡착된 NH₃와 H₂O를 생성하는 반응을 진행한다. 따라서 V=O에서 V \square 상태로 전환된 site가 많을수록 H₂O의 생성이 많고 무게증가가 있게 되므로 격자산소가 반응에 참여하며 격자산소는 H₂O형태로 배출된다는 사실을 확인할 수 있다. 이러한 현상은 Lietti와 Forzatti[22]가 NH₃-TPD실험에서 H₂O가 생성됨을 관찰한 결과와 일치하는 것으로 생각된다.



4. 결 론

질소산화물의 효과적인 저감을 위하여 선택적 축매환원공정의 핵심이 되는 V_2O_5/TiO_2 축매에서 반응활성의 원인인 격자산소의 거동을 파악하고자 실험연구를 수행하여 아래와 같은 결론을 얻었다.

(1) NH₃와 격자산소의 반응으로 NO가 생성되는 것을 관찰하여 선택적 축매환원반응에서 격자산소가 탈리됨을 확인하였다.

(2) 담지되지 않은 V_2O_5 의 격자산소는 온도가 높을수록 재생정도가 크게 나타나지만 담지된 V_2O_5/TiO_2 축매에 있어서 monolayer에 상당하는 담지율인 3 wt%까지는 격자산소의 탈리와 재생이 거의 없고 그 이상의 담지율에서는 담지율이 증가할수록 격자산소가 많이 탈리된다.

(3) 담지되지 않은 V_2O_5 와는 달리 일정담지율 이상으로 담지된 V_2O_5 의 격자산소는 온도에 관계없이 쉽게 재생되어 담지되지 않거나 monolayer이하로 담지된 활성성분의 격자산소보다 그 이상으로 담지된 V_2O_5 의 격자산소의 유동성이 뛰어남을 발견하였고, 또한 격자산소 결함은 기상의 산소에 의하여 재생됨을 확인하였다.

(4) 열중량분석 실험을 통하여 담지율이 큰 V_2O_5/TiO_2 축매의 경우에는 산소분위기에서 무게가 증가되며 이때 H₂O를 생성시키는 것을 확인하였다. 이로써 격자산소의 재생과정에 대하여 Bosch 등이 제안한 mechanism이 타당함을 입증하였다.

참고문헌

- Bosch, H., Janssen, F. J. J. G., van den Kerkhof, F. M. G., Oldenziel, J., van Ommen, J. G. and Ross, J. R. H.: *Applied Catalysis*, **25**, 239 (1986)
- Bosch, H. and Janssen, F.: *Catal. Today*, **2**, 369(1988).
- Shin, B. S., Lim, S. Y. and Choung, S. J.: *Korean J. Chem. Eng.*, **11**, 254(1994).
- Ozkan, U. S., Kumthekar, M. W. and Cai, Y. P.: *Ind. Eng. Chem. Res.*, **33**, 2924(1994).
- Nam, I. S.: *Catalysis*, **11**(1), 8(1995).
- Lee, B. S., Lee, C. W., Bae, J. H., Shin, B. S. and Choung, S. J.: *HWAHAK KONGHAK*, **35**, 565(1997).
- Choi, H., Ham, S. W., Nam, I. S., Kim, Y. G., Sim, J. H. and Ha, B. H.: *HWAHAK KONGHAK*, **34**, 91(1996).
- Wong, W. C. and Nobe, K.: *Ind. Eng. Chem. Prod. Res. Dev.*, **25**, 179(1986).
- Hattori, T. and Murakami, Y.: *J. Catal.*, **10**, 114(1968).
- Miyamoto, A., Yamazaki, Y., Hattori, T., Inomata, M. and Murakami, Y.: *J. Catal.*, **74**, 144(1982).

11. Rajadhyaksha, R. A., Hausinger, G., Zeilinger, H., Ramstetter, A., Schmelz, H. and Knozinger, H.: *Appl. Catal.*, **51**, 67(1989).
12. Gasior, M., Haber, J., Machej, T. and Czepe, T.: *J. Mol. Catal.*, **43**, 359(1988).
13. Ozkan, U. S., Cai, Y. and Kumthekar, M. W.: *J. Catal.*, **149**, 375 (1994).
14. Ramis, G., Busca, G., Bregani, F. and Forzatti, P.: *Appl. Catal.*, **64**, 259(1990).
15. Odriozola, J. A., Heinemann, H., Somorjai, G. A., Garcia de la Banda, J. F. and Pereira, P.: *J. Catal.*, **119**, 71(1989).
16. Bosch, H., Kip, B. J., van Ommen, J. G. and Gellings, P. K.: *J. Chem. Soc. Faraday Trans. I*, **80**, 2479(1984).
17. Haber, J., Kozlowska, A. and Kozlowski, R.: *J. Catal.*, **102**, 52 (1986).
18. Bauerle, G. L., Wu, S. C. and Nobe, K.: *Ind. Eng. Chem. Prod. Res. Dev.*, **17**, 117(1978).
19. Pearson, I. M., Ryu, H., Wong, W. C. and Nobe, K.: *Ind. Eng. Chem. Prod. Res. Dev.*, **22**, 381(1983).
20. Shikada, T., Fujimoto, K., Kunugi, T., Tominaga, H., Kaneko, S. and Kubo, Y.: *Ind. Eng. Chem. Prod. Res. Dev.*, **20**, 91(1981).
21. Efstatouli, A. M. and Fliatoura, K.: *Appl. Catal. B*, **6**, 35(1995).
22. Lietti, L. and Forzatti, P.: *J. Catal.*, **147**, 241(1994).